

УДК 532.517.4

© 2000 г. П.А. БАРАНОВ, С.В. ГУВЕРНЮК, М.А. ЗУБИН, С.А. ИСАЕВ

**ЧИСЛЕННОЕ И ФИЗИЧЕСКОЕ МОДЕЛИРОВАНИЕ
ЦИРКУЛЯЦИОННОГО ТЕЧЕНИЯ В ВИХРЕВОЙ ЯЧЕЙКЕ
НА СТЕНКЕ ПРЯМОГО КАНАЛА**

Приведены результаты численного и физического моделирования пространственного вихревого течения в круговой ячейке – выемке, расположенной на стенке прямого канала постоянного прямоугольного сечения.

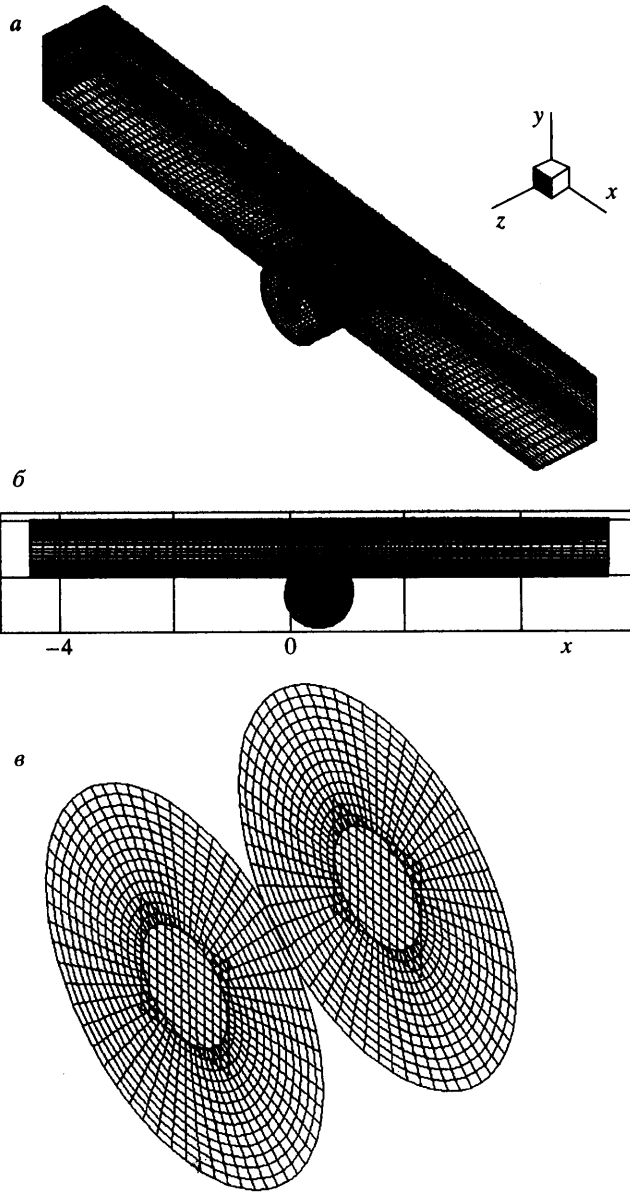
Управление обтеканием тел с помощью организованного отрыва потока позволяет в ряде случаев существенно улучшить аэродинамические характеристики тел [1, 2]. В частности, создание на поверхности тел вихревых ячеек (ловушек интенсивных вихрей [3]) может локализовать зоны отрыва потока и обеспечить плавное обтекание.

В качестве простейшей вихревой ячейки может рассматриваться плоскопараллельное циркуляционное течение вязкой жидкости в прямоугольном объеме, которое часто выбирают для анализа разнообразных расчетных методов [2, 4]. Этот тип течения детально исследовался экспериментально, в частности, при движении воды [5] и воздуха [6, 7] в канале с поперечной прямоугольной траншеей обнаружено развитое циркуляционное течение, содержащее крупномасштабный двумерный вихрь и систему более мелких вихрей различной интенсивности.

Однако для использования в качестве ловушек вихрей на поверхности тел более подходят вырезы с гладким внутренним контуром. В [3] решена обратная задача обтекания крылового профиля с вихревой ячейкой при числе Рейнольдса $Re \rightarrow \infty$ по модели Бэтчелора: форма ячейки найдена в процессе срацивания внешнего потенциального течения около профиля и внутреннего течения с постоянной завихренностью. В [8] методом дискретных вихрей исследована начальная стадия формирования крупномасштабного вихря внутри кругового выреза в плоской стенке. В [9, 10] построено численное решение задачи об установившемся обтекании вязкой несжимаемой жидкостью цилиндра с двумя круговыми вихревыми ячейками при низких и высоких числах Рейнольдса. В [11] показано, что расположение внутри контура толстого профиля вихревых ячеек эллиптической формы с отсосом жидкости на центральном теле позволяет обеспечить режим безотрывного обтекания и высокое аэродинамическое качество. Таким образом, результаты решения ряда двумерных задач показывают возможность управления обтеканием тел за счет интенсификации движения в мелкомасштабных вихревых ячейках.

В практических ситуациях движение в вихревых ячейках носит пространственный характер. Представляет интерес изучить вихревое течение в простом случае ячейки круговой формы, размещенной на стенке в прямом канале с прямоугольным поперечным сечением. В настоящей работе использованы расчетные и экспериментальные методы исследования, значительное внимание уделяется идентификации пространственных струйно-вихревых структур в ячейке.

1. Рассматривается пространственное стационарное течение несжимаемой вязкой жидкости в прямом канале постоянного прямоугольного сечения с ячейкой в виде поперечной цилиндрической круговой выемки на нижней стенке канала (фиг. 1).



Фиг. 1. Многоблочная сетка в канале прямоугольного сечения с круговой ячейкой (а), ее продольное сечение (б) и фрагмент сетки в круговой каверне (в)

Здесь h , $2b$ – высота и ширина канала, x , y , z – декартовы координаты, выбранные так, что $y = h$ – верхняя, $y = 0$ – нижняя, $z = 0$ и $z = 2b$ – боковые стенки канала, $x^2 + y^2 - xL + 2yc = 0$ – уравнение контура круговой выемки-ячейки (с осью на глубине c), которая располагается в области $y < 0$ и имеет в плоскости нижней стенки канала вход протяженностью L с двумя острыми кромками. Течение исследуется внутри ограниченного отрезка канала $-a < x < L + a$. На входе $x = -a$ вне пограничных слоев задается однородный профиль продольной скорости $u = U$. Величины L и U приняты за характерные масштабы скорости и длины. Число Рейнольдса $Re = LU/v$ арьи-

ровалось в диапазоне, охватывающем ламинарный и развитый турбулентный режимы течения.

При численном исследовании использованы математические модели, основанные на системах уравнений Навье – Стокса и Рейнольдса при ламинарном и турбулентном режимах течения. В последнем случае система уравнений замыкалась дифференциальной двухпараметрической моделью турбулентности, модифицированной с учетом влияния кривизны линий тока на характеристики турбулентности [2, 12].

Задача решается в предположении о симметричности течения и характеристиках турбулентности в канале относительно продольной плоскости симметрии $z = h$. На входе в канал ($x = -a$) задаются пограничные слои толщиной δ с профилями Польгаузена или степенным с показателем "1/7". На стенах канала и ячейки применяется аппарат пристеночных функций, базирующийся на предположении о локальном равновесии турбулентности в пристеночном слое [2]. На выходе из канала используются "мягкие" граничные условия.

Течение предполагается стационарным. Для его отыскания применяется релаксационная процедура решения системы исходных стационарных уравнений, записанных в дельта-форме в криволинейных координатах относительно приращений зависимых переменных, включающих декартовые составляющие скорости. После линеаризации решение строится с помощью конечно-объемной процедуры, основанной на концепции расщепления по физическим процессам [2]. Для уменьшения влияния численной диффузии из-за ошибок аппроксимации конвективных членов в явной части уравнений переноса используется квадратичная противопоточная схема [13]. При дискретизации конвективных членов уравнений переноса характеристики турбулентности используются как схема [13], так и разновидность TVD-схемы. Чтобы избежать нефизических осцилляций при воспроизведстве течений с тонкими сдвиговыми слоями в неявную часть уравнений вводится механизм искусственной диффузии в сочетании с применением односторонних противопоточных схем для дискретизации конвективных членов. Для устранения немонотонностей в распределении давления при дискретизации градиента давления по центрально-разностной схеме на центрированном шаблоне в блок коррекции давления вводится монотонизатор [2]. Эффективность расчетной процедуры обеспечивается применением для решения дискретных алгебраических уравнений метода неполной матричной факторизации [14].

Многоблочный подход, апробированный при расчете обтекания двумерных тел с вихревыми ячейками [9–11], распространен на решение трехмерных задач. Концепция многоблочных сеток представляется наиболее рациональной для корректной интерпретации разномасштабных элементов течений, имеющих сложную структуру, к которым, в частности, относится течение в канале с монтируированной в одну из стенок вихревой ячейкой (фиг. 1, а). В этом случае друг на друга накладываются сетки простой топологии, что существенно упрощает задачу их построения и позволяет избежать генерации сложной криволинейной сетки (фиг. 1, б). Многоблочная расчетная сетка включает в себя прямоугольную сетку собственно в канале, содержащую $81 \times 41 \times 21$ узлов со сгущением в пристеночных зонах и вблизи острых кромок, а также цилиндрическую сетку в круговой ячейке с равномерным распределением узлов в окружном направлении (21 узел на дуге вне ячейки) и в радиальном направлении (18 узлов). Пристеночные шаги сеток задаются равными $8 \cdot 10^{-3}$. На центральную зону ячейки в месте расположения оси цилиндрической сетки накладывается "заплатка" – квадратная сетка размером $0,5 \times 0,5$, содержащая 16×16 узлов (фиг. 1, в).

Расчеты ламинарного и турбулентного режимов течения при $Re = 10^3$ и $1,3 \cdot 10^5$ выполнены для канала с параметрами: $h = 1$, $a = 4,5$, $b = 0,75$, $c = 0,288$. Кинетическая энергия турбулентности $k = 1,5 \cdot 10^{-4}$ и толщина пограничного слоя $\delta = 0,1$ на входе в канал соответствовали условиям проведенного физического эксперимента.

2. Экспериментальное исследование проведено в Институте механики МГУ на установке, представляющей собой малогабаритную аэродинамическую трубу прямого действия, в которой поток воздуха создается нагнетающим вентилятором [15]. Ра-

бочий канал со стенками из органического стекла имел прямоугольное сечение высотой 0,05 и шириной 0,08 м. На нижней стенке, оснащенной узлом крепления сменных блоков с различными выемками, была установлена круговая ячейка с диаметром полости 0,06 м и расстоянием между острыми кромками $L = 0,052$ м (т.е. безразмерные параметры рабочего канала: $h = 0,96$, $a = 4,5$, $b = 0,77$, $c = 0,29$). Для выравнивания потока перед каналом имелись плоский профилированный конфузор с четырехкратным сужением и удлиненная форкамера с хонейкомбом и сеткой. Вентилятор и конфузор обеспечивали на входе в рабочий канал установки однородный поток со скоростью $U = 1,5\text{--}50$ м/с.

Основная часть измерений была выполнена при $U = 36$ м/с, чему соответствует $Re = 1,34 \cdot 10^5$. Измерялись распределения давления на стенках канала и ячейки, интенсивность турбулентности и средние профили продольной составляющей скорости u во входном и выходном сечениях канала, профили полного и статистического давления в плоскости симметрии $z = b$ в трех сечениях $x = x_n$, где $x_1 = -1,06$, $x_2 = 0,5$, $x_3 = 1,96$. Толщина пограничного слоя на нижней стенке канала перед ячейкой ($x = x_1$) составила $\delta_1 \approx 0,11$ при толщине потери импульса $\delta_1^{**} \approx 0,012$. Интенсивность турбулентности измерялась с помощью термоанемометра постоянного сопротивления DISA A-55; в ядре потока в данном сечении она была на уровне 1,5%.

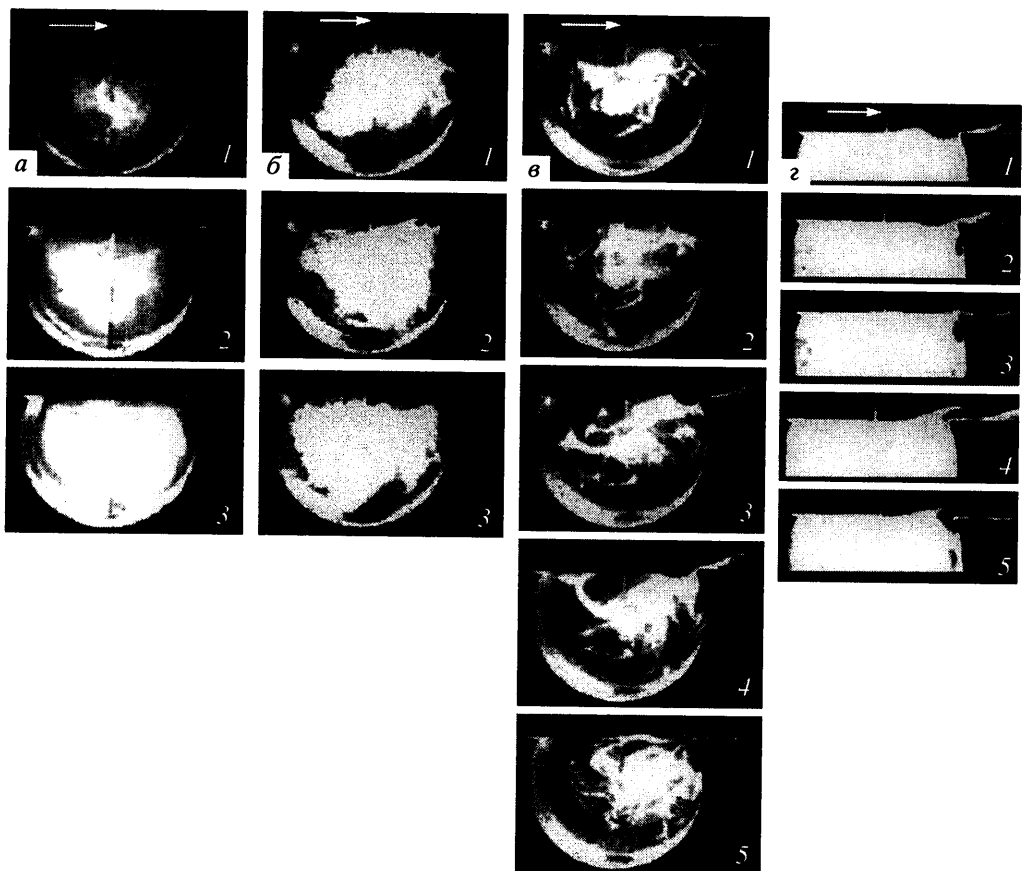
Течение в цилиндрической ячейке и ее окрестности визуализировалось с помощью метода дымящейся проволоки. Нагреваемая электрическим током никромовая нить диаметром 0,3 мм устанавливалась вертикально в середине ячейки. Дым образовался в результате горения масла, стекающего по горячей нити. Его оптическую плотность, зависящую от температуры нити, можно было плавно регулировать. Для наблюдения картины течения создавалась необходимая подсветка (световая плоскость), а регистрация осуществлялась с помощью видеозаписи.

На фиг. 2 приведены характерные кадры из видеограмм течения при различных скоростях потока: $U = 36$ м/с, $Re = 1,34 \cdot 10^5$ (а); 5 м/с, $1,86 \cdot 10^4$ (б); 1,5 м/с, $5,6 \cdot 10^3$ (в, г). Нумерация кадров 1–5 соответствует моментам времени 0–0,16 с с шагом 0,04. Источник дыма находился внутри ячейки на линии $x = x_2$, $z = b$. Длительность экспозиции одного кадра во всех случаях была 10^{-3} с.

Процесс размывания дыма, приводивший к почти его равномерному распределению по ширине ячейки $0 < z < 2b$, указывал на турбулентный режим внутреннего течения. Поверхность, образующаяся при встрече внешнего и внутреннего потоков около передней кромки ячейки, выглядит на снимках линией, отделяющей область задымления от внешнего потока. По мере приближения к задней кромке эта линия становится более размытой (фиг. 2, а), что свидетельствует о нарастании интенсивности турбулентности в слое смешения. При $U = 5$ м/с (фиг. 2, б) в окрестности задней кромки становятся заметны нестационарные вихревые образования. При понижении скорости до 1,5 м/с видимая граница задымления теряет регулярный характер (становится извилистой, фиг. 2, в) на значительной части расстояния между кромками. Вихри в окрестности задней кромки уносятся как внешним потоком, так и захватываются внутрь, турбулизируя тем самым течение в ячейке. Эволюция разделяющей поверхности хорошо наблюдается на фиг. 2, г при интенсивном задымлении внутреннего течения.

Отмеченные различия в поведении видимой границы задымления при малой и большой скоростях набегающего потока могут быть связаны с длительностью экспозиции при съемке: кадры на фиг. 2, а и в для скоростей 36 и 1,5 м/с получены при одинаковой экспозиции 10^{-3} с. В [16] приведены снимки, на которых наблюдаются подобные различия в изображениях границы одной и той же турбулентной струи, визуализируемой дымом, при короткой и длительной экспозициях.

3. Имеется удовлетворительное совпадение расчетных и экспериментальных профилей продольной составляющей средней скорости $u(x, y, b)$ в плоскости симметрии

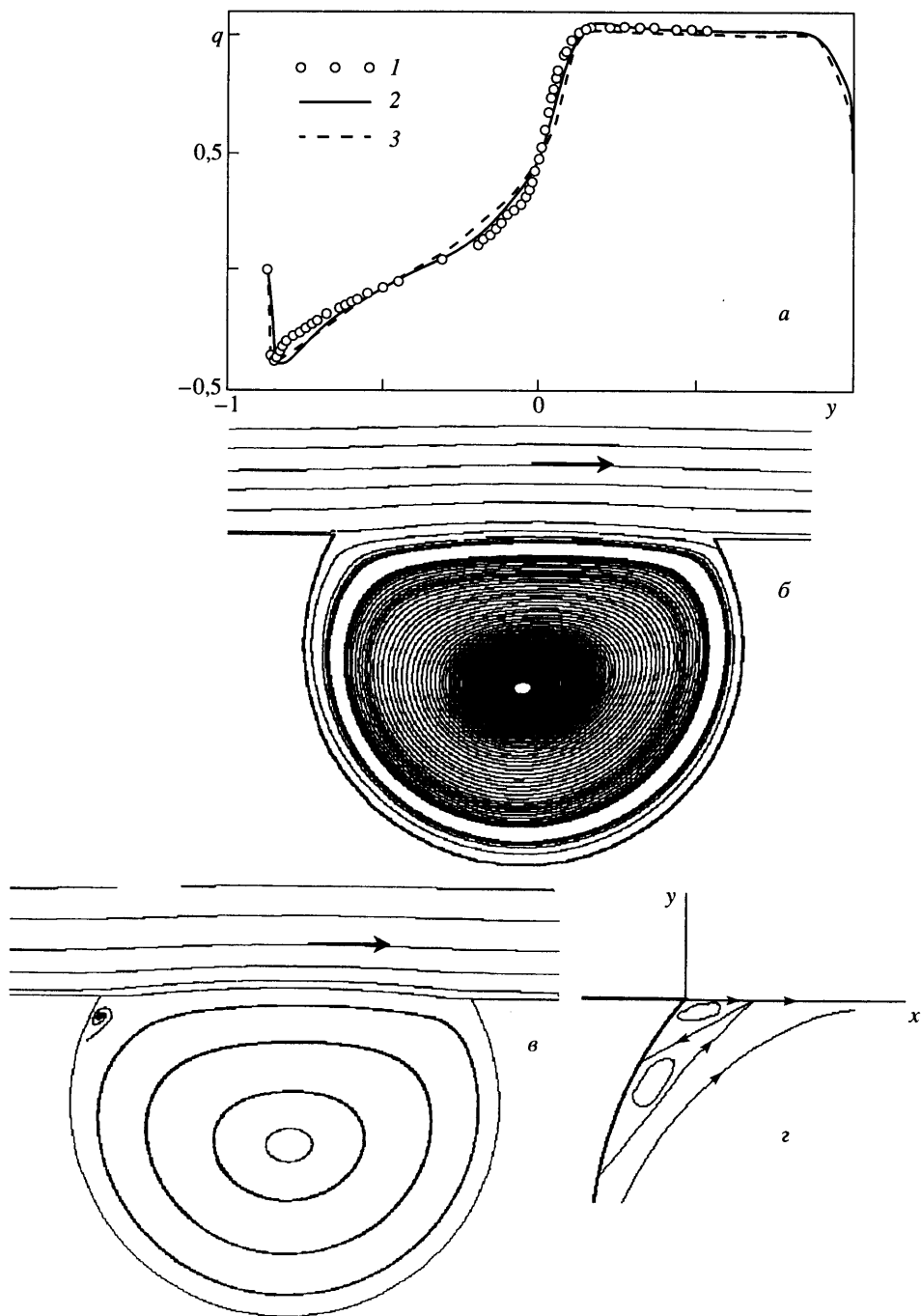


Фиг. 2. Дымовая визуализация при скорости U потока в канале: $a - 36 \text{ м/с}$, $b - 5$, $c - 1,5$

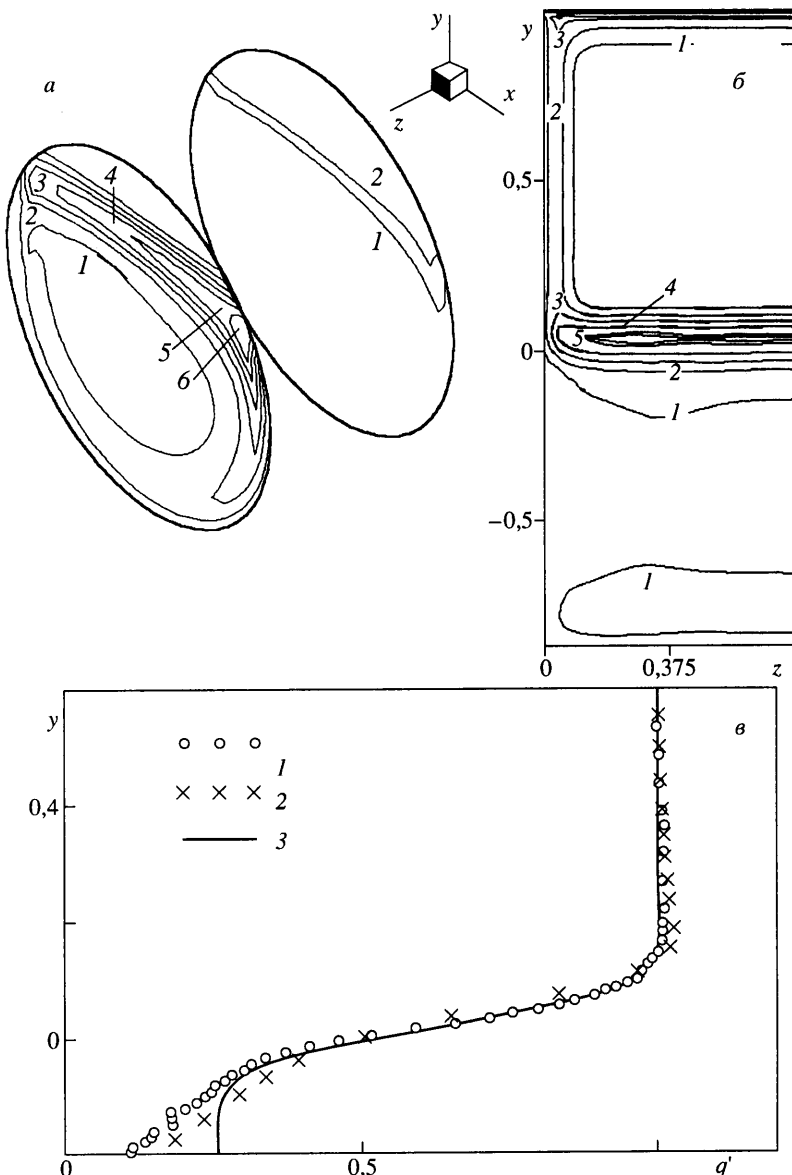
$z = b$ при $\text{Re} = 1,3 \cdot 10^5$. На фиг. 3, a построен нормированный профиль $q = u(x_2, y, b)/u_1$ в срединном поперечном сечении ячейки $x = x_2$. Здесь $u_1 = u(x_1, 0,5h, b)$ – скорость потока перед ячейкой; точки 1 – эксперимент, 2 и 3 – расчеты по трех- и двумерной моделям. Соответствующие картины линий тока в плоскости $z = b$ показаны на фиг. 3, b и c .

Из фиг. 3, a следует, что при турбулентном режиме течения в круговой ячейке происходит интенсивное циркуляционное течение, расчетная структура которого (фиг. 3, b) согласуется с визуализированной дымом картиной (фиг. 2, a). Центр крупномасштабного вихря смешен вниз от оси ячейки $y = -c$ и располагается около срединного поперечного сечения $x = 0,5$ на уровне $y = -0,395$ ($c = 0,288$), что также близко к данным эксперимента. В двумерном случае вблизи передней кромки ячейки ($x = 0, y = 0$) неизбежен локальный отрыв внутреннего течения при его столкновении с более интенсивным внешним потоком. Расчеты по двухмерной модели позволили обнаружить этот мелкомасштабный отрыв (фиг. 3, b), однако для правильного отражения его структуры расчетная сетка была слишком грубой. Поэтому локальный захват на фиг. 3, b отражает лишь факт существования локального отрыва в окрестности передней кромки ячейки, но не структуру локальных линий тока, которая в двухмерном течении должна иметь вид, схематически показанный на фиг. 3, c . В расчетах по трехмерной модели указанная область локального отрыва вообще не была обнаружена (фиг. 3, b). Не удалось обнаружить эту область и в эксперименте [15].

Линия тока, разделяющая течение в канале и крупномасштабный вихрь в ячейке, практически соединяет острые кромки ячейки, имея некоторую выпуклость в сторону



Фиг. 3. Течение в плоскости $z = b$: *a* – профиль продольной составляющей скорости в поперечном сечении ячейки, 1 – данные измерений, 2 и 3 – расчеты по трех- и двумерной моделям, расчетные картины линий тока в плоскости симметрии трехмерного канала (*b*) и двумерного рециркуляционного течения в канале с круговой ячейкой (*c*), схема (*г*)



Фиг. 4. Распределения энергии турбулентности k в плоскостях симметрии и вблизи боковой стенки (а) и в поперечном сечении каверны (б): 1–6 – $k = 0,02, 0,04, 0,06, 0,08, 0,1, 0,12$; а также профиль средней скорости в поперечном сечении сдвигового слоя смешения (в): 1 – эксперимент, 2 – расчет по трехмерной модели, 3 – турбулентный профиль Гартлера

внешнего потока (фиг. 2, а и 3, б, в). В окрестности этой линии над ячейкой имеется турбулентный сдвиговый слой, в котором генерируется значительная часть турбулентной энергии. На фиг. 4, а показано распределение энергии турбулентности k в плоскости симметрии ($z = b$) и вблизи боковой стенки; на фиг. 4, б – в поперечном сечении $x = x_2$. Наибольший уровень k достигается в окрестности острой кромки ниже по потоку. На картинах визуализации (фиг. 2, в, г) в этом месте видны значительные возмущения. "Языки" турбулентной энергии проникают в глубь ячейки, но быстро затухают, так что в ядре крупномасштабного вихря интенсивность турбулентности

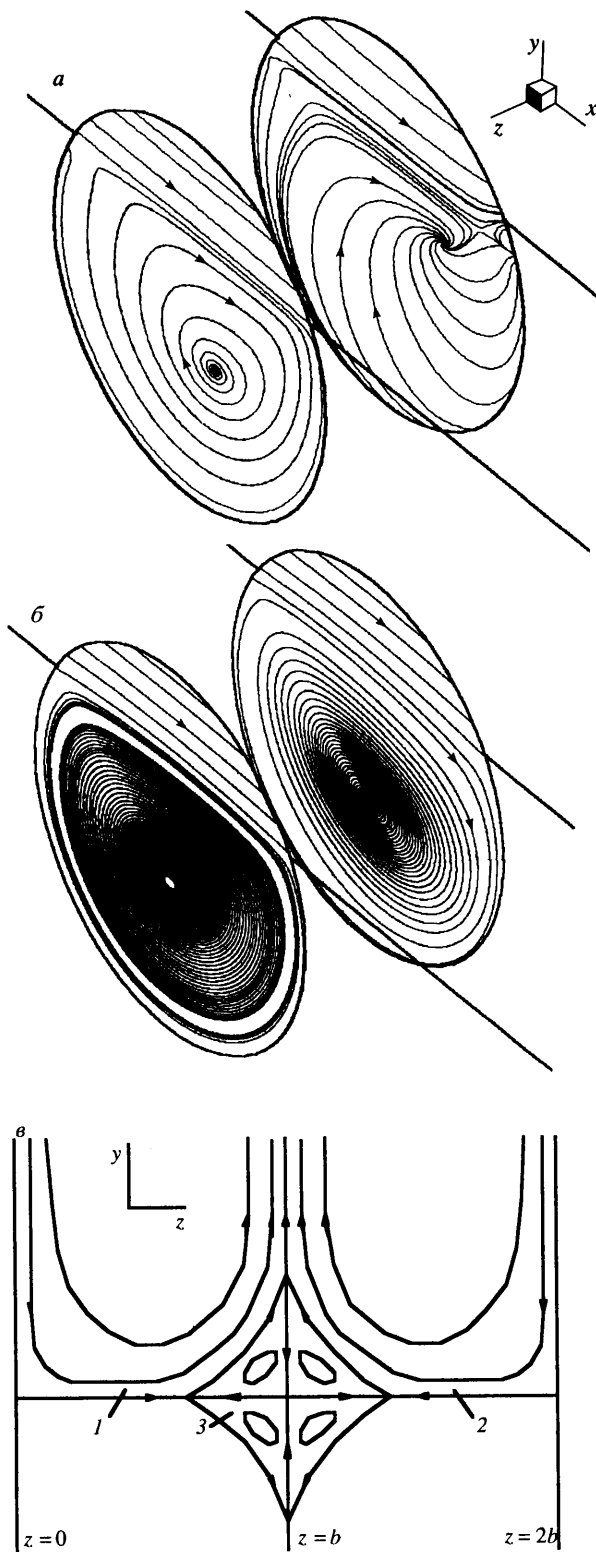
невелика (фиг. 4). Нормированный профиль средней скорости в сдвиговом слое смешения над центральной частью ячейки при $z = b$, $x = x_2$ построен детально на фиг. 4, в (l – эксперимент, 2 – расчет по трехмерной модели, $q' = q/q(0,5h)$). Верхняя часть этого профиля при $y > -0,06$ аналогична классическому турбулентному профилю Гертлера для плоских сдвиговых слоев, в данном случае кривая 3 на фиг. 4, в соответствует формуле $q' = 0,63 + 0,37 \operatorname{erf}(13,77y - 0,25)$, где erf – интеграл функций ошибок. При $y < -0,06$ реальный профиль отклоняется от указанной кривой, трансформируясь в почти линейный профиль в ядре крупномасштабного вихря (фиг. 3, а и 4, в).

У задней по потоку кромки ячейки часть слоя смешения поворачивает внутрь, образуя периферийную струю в возвратном течении около криволинейной стенки ячейки (фиг. 3, а). В этой струе скорость возвратного течения в ячейке достигает максимальной величины, в данном случае $q \approx -0,38$ – в эксперименте и $-0,4$ – в расчете. При этом в эксперименте наблюдается более выраженный струйный профиль периферийного течения, чем в расчете (фиг. 3, а), что может быть связано с недостаточным разрешением расчетной сетки в этой области.

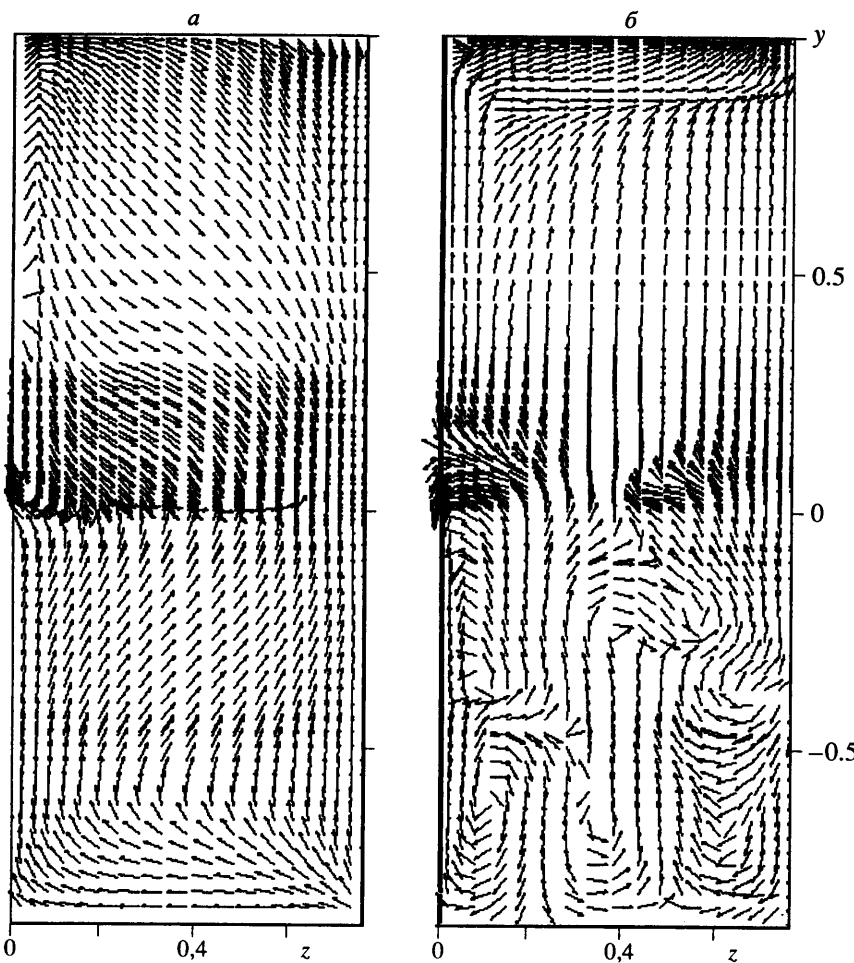
По данным измерений и расчетов можно выделить в осредненном течении элементы классической схематизации структуры двумерных отрывных течений: пограничные слои, сдвиговый слой смешения, ядро возвратного течения с приблизительно постоянной завихренностью, пристеночная струя. Искривление осредненных линий тока и поперечный градиент давления в области течения непосредственно над ячейкой малы. Внутри цилиндрической ячейки наблюдается в среднем стабильное течение, характеризующееся наличием одного крупномасштабного вихря, отделенного от внешнего потока сдвиговым слоем смешения. Пространственное распределение статического давления имеет минимум в окрестности оси крупномасштабного вихря и почти не зависит от расстояния до боковых стенок. Близость профилей скорости и картин вихревого течения, рассчитанных для плоской и пространственной моделей (фиг. 3, а, б, в), а также слоистость в картине изолиний турбулентной энергии в поперечном сечении ячейки (фиг. 4, б) дают основание сделать вывод и о формировании квазидвумерного течения в срединной части канала.

4. В то же время есть качественное различие в двумерных и пространственных структурах вихревого течения. Если при решении плоской задачи в ячейке в продольной плоскости получается циркуляционное течение с замкнутыми траекториями частиц (фиг. 3, в), то в плоскости симметрии $z = b$ пространственной ячейки при ламинарном течении расчетные траектории представляют собой некоторые спирали, раскручивающиеся от центра вихря (фиг. 5, а). Увеличение Re на два порядка (от 10^3 до $1,3 \cdot 10^5$) вызывает существенную интенсификацию вихревого течения в ячейке: максимальная скорость возвратного течения возрастает с 0,095 до 0,42. При этом поперечная (в направлении оси z) составляющая скорости изменяется незначительно, увеличиваясь с 8 до 9% u_1 . Картинам движения жидкости вблизи боковой стенки (при $z = 0,008$) характеризуются наличием особой точки – фокуса (фиг. 5). При $Re = 10^3$ эта точка располагается близко к разделяющей линии тока, разграничитывающей течения в ячейке и канале. При больших Re ординаты этой точки и центра вихря в срединном сечении $z = b$ практически совпадают.

Существенные различия в картинах движения жидкости при ламинарном и турбулентном режимах наблюдаются в плоскости симметрии $z = b$. Если при $Re = 10^3$ имеет место раскрутка потока в этой плоскости (фиг. 5, а), то при $Re = 1,3 \cdot 10^5$ структура линий тока гораздо сложнее. Белое кольцо на фиг. 3, б и 5, б – это область растекания, внешние по отношению к этой области линии тока образованы раскручивающимися спиральными, внутренние – скручивающимися. Во внутренней области жидкость медленно движется к центру вихря, где находится еще одна особенность структуры течения. Белые кружки на фиг. 3, б и 5, б – это центры стекания жидкости



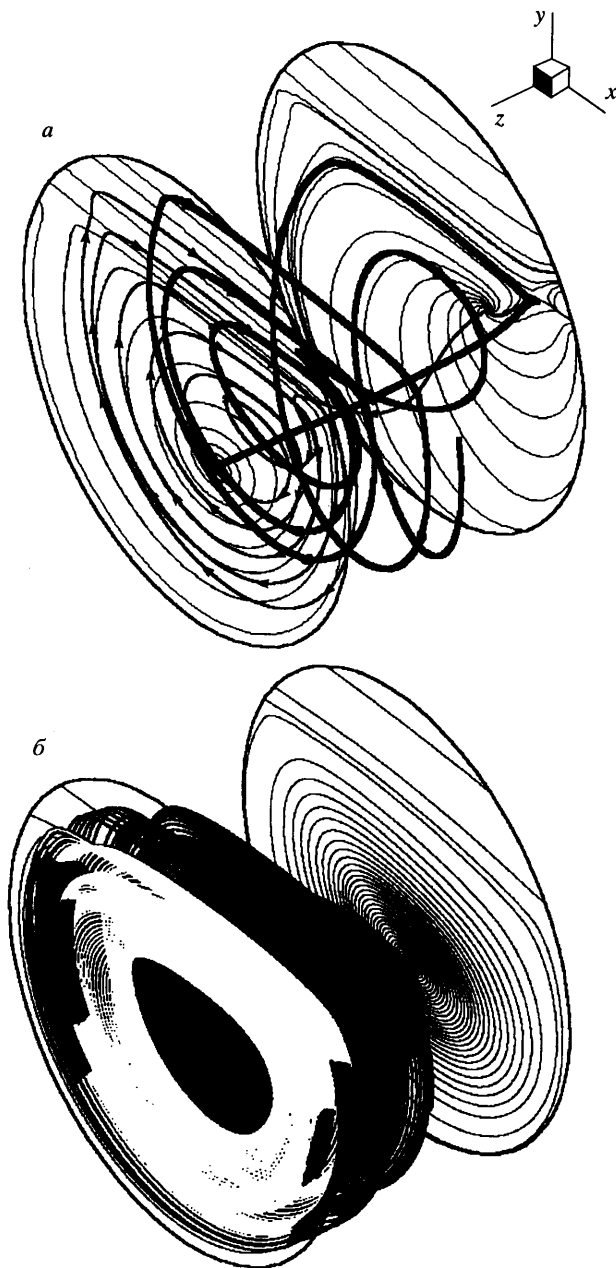
Фиг. 5. Сравнение картин растекания жидкости в плоскости симметрии и вблизи боковой стенки ячейки при ламинарном (а) и турбулентном (б) режимах течения; в – схема пространственной структуры течения



Фиг. 6. Поле скоростей вторичных течений в поперечном сечении ячейки при ламинарном (*a*) и турбулентном (*b*) режимах

в перпендикулярных плоскости симметрии направлениях. На фиг. 5, *в* показана упрощенная схема соответствующей пространственной структуры течения. Заторможенная вблизи стенки $z = 0$ жидкость под действием радиального перепада давлений стекает к оси закрутки и вытекает низкоэнергетической струей 1 в направлении оси z (фиг. 5, *в*). Навстречу ей движется такая же струя 2 от стенки $z = 2b$. Эти струи не могут преодолеть создавший их перепад давлений, поэтому возникает замкнутая область 3 с медленным движением жидкости: к оси — в плоскости симметрии $z = b$, от оси — на внешней границе области 3 (фиг. 5, *в*). В рассмотренном ламинарном потоке при $Re = 10^3$ (фиг. 5, *б*) область 3, видимо, неуловимо мала или даже отсутствует. В турбулентном потоке эта область занимает значительную часть сечения $z = b$: на фиг. 3, *б* и 5, *б* видны незаполненные отмеченными линиями тока кольцеобразная область растекания и круг стекания вблизи центра ячейки. Влияние криволинейной границы ячейки и ее угловых кромок, конечно, усложняет показанную на фиг. 5, *в* схему вторичных течений.

Как следует из фиг. 6, *а*, ламинарное вторичное течение в поперечном сечении круговой ячейки ($x = 0,5$) формируется в определяющей мере оттоком жидкости от боковой стенки с увеличением его в зоне сдвигового слоя. В то же время имеется



Фиг. 7. Пространственные струйно-вихревые структуры в круговой ячейке при ламинарном (а) и турбулентном (б) режимах

(фиг. 7, б). Интересно отметить формирование здесь вихревого кольца, подобного тем вихревым структурам, которые генерируются при обтекании глубоких лунок на стенке [18].

Заключение. Численное и физическое моделирование ламинарного и турбулентного течений в канале прямоугольного сечения с круговой каверной на одной из

приток жидкости к боковой стенке в окрестности придонной части ячейки. В целом характер ламинарного течения вполне упорядоченный, причем обнаруживается отчетливое влияние боковых стенок канала.

При турбулентном режиме вторичные течения в основном русле канала и в ячейке заметно различаются (фиг. 6, б). Если течение в канале носит слоистый характер, то в пределах каверны наблюдается весьма сложное движение жидкости с отчетливым разделением на подобласти.

Пространственная структура крупномасштабного вихревого течения в круглой ячейке при ламинарном режиме показана на фиг. 7, а. Для нее характерно формирование заокрученной струи в окрестности фокуса и спиралеобразное движение жидкости в центральной области, прилегающей к плоскости симметрии. Часть жидкости выплескивается при этом из ячейки, а часть ее возвращается обратно к боковой стенке по пристеночным спиралевидным траекториям. Аналогичные структуры получались в зазоре между торцом цилиндра и выступающим диском при продольном обтекании цилиндра под углом атаки [17].

При турбулентном режиме течения в ячейке между плоскостью симметрии и боковой стенкой располагается поверхность взаимодействия закрученных струйных потоков, имеющих свое начало в фокусе на боковой стенке и в центре вихря в плоскости симметрии

стенок позволило детально проанализировать пространственные структуры в отрывной зоне. Обнаружены различия ламинарного и турбулентного режимов течения. Общей чертой трехмерного отрыва является существование на омываемых поверхностях особых точек, из окрестности которых жидкость истекает в виде закрученной струи в пространство над этими поверхностями. Отмеченные пространственные эффекты не слишком искажают в целом квазидвумерный характер течения в ячейке. Они определены поперечной составляющей вектора скорости (ее проекцией на плоскость x, z), не превышающей в данном случае 9% скорости в канале. Интенсивность движения в крупномасштабном вихре слабо зависит от наличия боковых стенок. Максимальная скорость возвратного течения достигается в придонной области ячейки и составляет при турбулентном режиме около 40% скорости в канале.

Авторы благодарны Г.Ю. Степанову за внимание к работе и полезные советы.

Работа выполнена при финансовой поддержке Российского фонда фундаментальных исследований (коды проектов 99-01-01115 и 99-01-00772).

СПИСОК ЛИТЕРАТУРЫ

1. Чжен П. Управление отрывом потока. М.: Мир, 1979. 552 с.
2. Белов И.А., Исаев С.А., Коробков В.А. Задачи и методы расчета отрывных течений несжимаемой жидкости. Л.: Судостроение, 1989. 253 с.
3. Bunyakin A.V., Chernyshenko S.I., Stepanov G.Yu. High-Reynolds-number Batchelor-model asymptotic of a flow past an airfoil with a vortex trapped in a cavity // J. Fluid Mech. 1998. V. 358. P. 283–297.
4. Кабаков Я.И., Майорова А.И. Турбулентное течение в прямоугольной выемке в стенке плоского канала // Инж.-физ. журн. 1984. Т. 46. № 3. С. 363–371.
5. Богатырев В.Я., Дубнищев Ю.Н., Мухин В.А. и др. Экспериментальное исследование течения в траншее // ПМТФ. 1976. № 2. С. 76–86.
6. Варфоломеев И.М., Глебов Г.А., Гортышев Ю.Ф. и др. Структура и характеристики турбулентного отрывного течения в полости // Инж.-физ. журн. 1985. Т. 48. № 3. С. 387–391.
7. Алемасов В.Е., Глебов Г.А., Козлов А.П. Термоанеметрические методы исследования отрывных течений. Казань: КФ АН СССР, 1990. 177 с.
8. Белоцерковский С.М., Гиневский А.С. Моделирование турбулентных струй и следов на основе метода дискретных вихрей. М.: Физматлит, 1995. 386 с.
9. Баранов П.А., Исаев С.А., Пригородов Ю.С., Судаков А.Г. Численное моделирование ламинарного обтекания цилиндра с пассивными и активными вихревыми ячейками в рамках концепции декомпозиции расчетной области и при использовании многоярусных сеток // Письма в ЖТФ. 1998. Т. 24. Вып. 8. С. 33–41.
10. Баранов П.А., Исаев С.А., Пригородов Ю.С., Судаков А.Г. Численное моделирование эффекта снижения сопротивления цилиндра с вихревыми ячейками при наличии системы управления турбулентным пограничным слоем // Письма в ЖТФ. 1998. Т. 24. Вып. 17. С. 16–23.
11. Баранов П.А., Исаев С.А., Пригородов Ю.С., Судаков А.Г. Численное моделирование эффекта увеличения аэродинамического качества профилей за счет отсоса в вихревых ячейках // Инж.-физ. журн. 1999. Т. 72. № 3. С. 572–575.
12. Исаев С.А., Кудрявцев Н.А., Судаков А.Г. Численное моделирование турбулентного обтекания потоком несжимаемой вязкой жидкости тел криволинейной формы при наличии подвижного экрана // Инж.-физ. журн. 1998. Т. 71. № 4. С. 618–631.
13. Leonard B.P. A stable and accurate convective modeling procedure based on quadratic upstream interpolation // Comp. Meth. Appl. Mech. Eng. 1979. V. 19. № 1. P. 59–98.
14. Марчук Г.И. Методы вычислительной математики. М.: Наука, 1977. 455 с.
15. Гувернюк С.В., Зубин М.А., Зубков А.Ф., Тимошук Л.Т. Экспериментальное исследование турбулентного течения около плоской стенки с цилиндрической вихревой ячейкой // Отчет НИИ механики МГУ. М.: 1998. № 4521. 63 с.

16. Брэдшоу П. Введение в турбулентность и ее измерение. М.: Мир, 1974, 278 с.
17. Гувернюк С.В., Исаев С.А., Судаков А.Г. Идентификация механизма головной стабилизации при численном моделировании ламинарного несимметричного обтекания цилиндра с выступающим диском потоком вязкой несжимаемой жидкости // Журн. техн. физики. 1998. Т. 68. № 11. С. 138–142.
18. Исаев С.А., Леонтьев А.И., Усачев А.Е., Фролов Д.П. Идентификация самоорганизующихся струйно-вихревых структур при численном моделировании ламинарного течения и теплообмена в окрестности несимметричной уединенной лунки // Изв. РАН. Энергетика. 1999. № 2. С. 125–135.

Санкт-Петербург
Москва

Поступила в редакцию
2.IX.1999